

более плотную упаковку структуры. Кроме того, конгломераты оказываются вытянутыми вдоль фронта температур, а коэффициент анизотропии их формы $\approx 1,2$ (при $c^0 = 40\%$), что совпадает с данными экспериментов [3, 4].

На рис. 3 показана зависимость доли растресканных границ от скорости движения v образца ПК. Данный интервал изменения v использовался при градиентном спекании ПК состава ЦТС-83Г [3, 4]. Как следует из рис. 3, увеличение скорости не оказывает существенного влияния на долю границ, подвергшихся микрорастрескиванию. При данных параметрах материала происходит стабилизация этой величины возле значения $\approx 10\%$. Аналогичным образом ведет себя количество межклластерных границ, образующихся в процессе спекания в модельной области, и число микротрещин на этих границах. Однако при существенно больших v наблюдается значительно большее микрорастрескивание.

Таким образом, полученная ранее зависимость трещиностойкости материала K_{Ic} от начальной пористости c^0 [12—14] — более важный фактор, определяющий прочность пьезокерамики, по сравнению со скоростью движения образца ПК в выбранном диапазоне значений v .

ЛИТЕРАТУРА

1. Зацаринный В. П. Прочность пьезокерамики.— Ростов н/Д: Ростов. ун-т, 1978.
2. Писаренко Г. Г. Прочность пьезокерамики.— Киев: Наук. думка, 1987.
3. Беляев А. В., Крамаров С. О., Греков А. А. Эволюция микроструктуры сегнетокерамики при градиентном спекании // Тез. докл. III Всесоюз. конф. по проблемам получения и применения сегнето- и пьезоэлектрических материалов.— М.: Изд-во НИИ ТЭХИМ, 1987.
4. Беляев А. В., Крамаров С. О., Греков А. А. Межзерновые границы двух типов в сегнетокерамике // Стекло и керамика.— 1989.— № 8.
5. Беляев А. В., Карпинский Д. И., Крамаров С. О., Паринов И. А. Исследование процесса формирования микроструктуры пьезокерамики и ее трещиностойкости методом численного эксперимента // Изв. Сев.-Кавк. науч. центра высш. шк. Естеств. наук.— 1989.— № 4.
6. Самарский А. А. Теория разностных схем.— М.: Наука, 1983.
7. Дульинев Г. И., Заричняк Ю. П. Теплопроводность смесей и композиционных материалов: Справочная книга.— Л.: Энергия, 1974.
8. Лыков А. В. Тепломассообмен: Справочник.— М.: Гостехиздат, 1978.
9. Соболь П. М. Численные методы Монте-Карло.— М.: Наука, 1973.
10. Anderson M. R., Srolovitz D. J., Grest G. S., Sahni P. S. Computer simulation of grain growth — I. Kinetics // Acta Metall.— 1984.— V. 32, N 5.
11. Мэнсон С. Температурные напряжения и малоцикловая усталость.— М.: Машиностроение, 1974.
12. Карпинский Д. И., Паринов И. А., Филиппов А. Е. Исследование докритического роста трещины и трещиностойкости в гетерогенных материалах // Физика прочности гетерогенных материалов.— Л.: ЛФТИ, 1988.
13. Паринов И. А. Численное моделирование процесса изготовления и разрушения неполяризованной пьезокерамики: Автореф. дис. ... канд. физ.-мат. наук.— Ростов н/Д, 1990.
14. Karpinsky D. N., Parinov I. A. Computer simulation sintering and piezoceramic fracture toughness // Electronic ceramics-production and properties: Proc. Intern. Scient. Confer.— Riga, 1990.— Pt 1.

г. Ростов-на-Дону

Поступила 6/II 1990 г.,
в окончательном варианте — 13/XI 1990 г.

УДК 678.4 : 531

К. Ф. Черных, Е. К. Лебедева

ИЗМЕНЕНИЕ ОБЪЕМА ПРИ ОДНООСНОМ РАСТЯЖЕНИИ РЕАЛЬНЫХ ЭЛАСТОМЕРОВ

Для эластомеров, подвергаемых одноосному растяжению, введена характеристика поперечного сжатия v , обобщающая на случай умеренно больших растяжений коэффициент Шуассона. Для 10 типов используемых в обувной промышленности резин v постоянна вплоть до деформаций разрушения порядка 150 %.

Относительное изменение объема резин подсчитывается по формуле [1]

$$\theta = (dV - dV^0)/dV^0 = \lambda_1 \lambda_2 \lambda_3 - 1$$

(λ_i — главные кратности удлинений). При одноосном растяжении

$$\lambda_1 = \lambda > 1, \lambda_2 = \lambda_3 = \lambda^{-1/2} \sqrt{1 + \theta}.$$

Обозначим через S^0 и S площади поперечного сечения образца до и после деформации, связанные соотношением

$$(1) \quad S^0/S = 1/\lambda_2 \lambda_3 = \lambda/(1 + \theta).$$

Характеристику v введем следующим образом:

$$(2) \quad S^0/S = 1 + (\lambda - 1)2v.$$

Из (1) и (2) имеем

$$(3) \quad \theta = (1 - 2v)(\lambda - 1)/[1 + (\lambda - 1)2v].$$

При малых деформациях

$$\lambda - 1 = e_1, e_2 = e_3 = -\bar{v}e_1,$$

где e_i — главные относительные удлинения; \bar{v} — коэффициент Пуассона. В силу малости относительных удлинений ($e_1, e_2 \ll 1$)

$$\frac{S^0}{S} = \frac{1}{(1 + e_2)(1 + e_3)} - \frac{1}{(1 - \bar{v}e_1)^2} \simeq 1 + 2\bar{v}e_1.$$

Сопоставление полученного выражения с (2) дает $v = \bar{v}$, т. е. при малых деформациях v переходит в коэффициент Пуассона. При больших же деформациях, вообще говоря, $v = v(\lambda)$.

Из 10 типов используемых в обувной промышленности резин (см. таблицу) были изготовлены образцы в виде двухсторонней лопатки, растягиваемые без образования шейки на машине РТ 250-2М. Эксперименты показали (рис. 1), что для всех рассмотренных типов резин v постоянна. Штриховая линия отвечает несжимаемому материалу ($v = 0,5$). На рис. 2 приведена зависимость $\theta = \theta(\lambda_1)$, а на рис. 3 — зависимость условного напряжения от кратности удлинения $\sigma^0 = \sigma^0(\lambda_1)$. Условное напряжение вычислялось как отношение силы к первоначальной (до деформации) площади поперечного сечения образца.

Из рис. 1 следует основной результат: по крайней мере для рассмотренных наполненных резин вплоть до деформаций разрыва порядка 150 % v является обобщением коэффициента Пуассона на умеренно большие деформации. Заметное отклонение обобщенного коэффициента Пуассона от $v = 0,5$ свидетельствует о значительной пористости данных материалов.

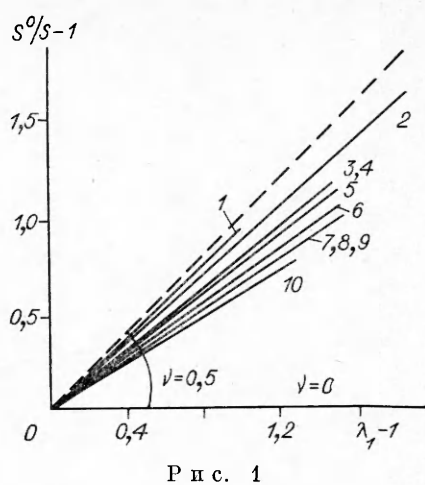


Рис. 1

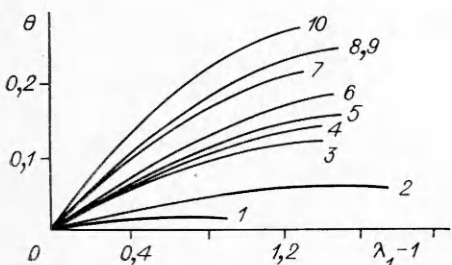


Рис. 2

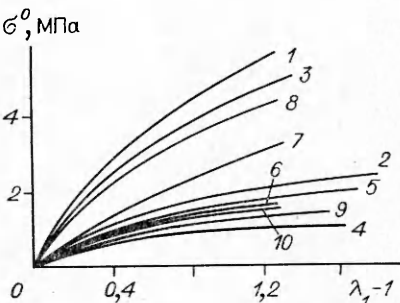


Рис. 3

№ п/п	Резина	Состав резины (массовая доля компонентов, %)	ν	Начальный модуль E_I , МПа	
1	Вида В (черная)	СКМС-30 РИ Регенерат Углерод ПМ-75 Сера	(25) (20) (36) (1,5)	0,49	10,0
2	Марки ВШ-6 (белая)	БС-45 АКН СКМС-30 РИ СКД Наполнитель Сера	(30) (5) (10) (20,9) (1,7)	0,46	3,584
3	Марки Б-2	СКМС-30 РИ Регенерат Углерод ПМ-75 Сера	(18,1) (33,3) (32,0) (1,3)	0,39	7,136
4	Порокреп	СКМС-30 АРКИИ БС-45 АКН Сажа ЕС-100 Сера	(20) (30) (14,8) (2,0)	0,39	1,509
5	Марки ВШ-2 (коричневая)	СКМС-30 РИ Регенерат Наполнитель Сера	(23,8) (14,3) (42,6) (1,5)	0,38	2,716
6	Марки ВШ-5 (красная)	БС-45 АКН СКД Регенерат Наполнитель Сера	(30) (10) (15) (20,9) (1,7)	0,36	2,470
7	«Малыш» (синяя)	БС-45 АКН СКИ-3 Наполнитель Сера	(35) (15) (32,1) (1,6)	0,34	4,693
8	Вида АШ (черная)	СКМС-30 РИ Регенерат Наполнитель Сера	(25) (20) (36) (1,5)	0,33	7,107
9	Марки В-1 (черная)	БС-45 АКН СКМС-30 РИ СКД Регенерат Наполнитель Сера	(35) (7) (8) (15) (15) (1,75)	0,33	2,033
10	«Под пробку» (белая)	БС-45 АКН Наполнитель Сера	(45) (32) (1,5)	0,30	1,509

Выражению для относительного изменения объема (3) можно привести вид

$$\theta = \theta^\infty - (1 - 2\nu)/\{2\nu[1 + 2\nu(\lambda - 1)]\},$$

где $\theta^\infty = (1 - 2\nu)/2\nu$ — предельное (при $(\lambda - 1) \rightarrow \infty$) значение относительного изменения объема.

В заключение отметим следующее. 1. Для рассмотренных 10 типов используемых в обувной промышленности резин мерой поперечного сужения (при растяжении до 150 %) может служить коэффициент ν . 2. Основное изменение объема происходит при умеренных деформациях. С этим,

по-видимому, связаны неоднократно отмечаемые в литературе погрешности модели несжимаемого материала при описании умеренных деформаций растяжения эластомеров [2].

ЛИТЕРАТУРА

1. Лебедева Е. К. О сжимаемости и упругости резин для низа обуви // Изв. вузов. Технология лег. пром-сти.— 1987.— № 4.
2. Черных К. Ф., Шубина И. М. Об учете сжимаемости резины // Механика эластомеров: Науч. тр. Кубанского гос. ун-та.— 1978.— Т. 2, вып. 268.

г. Новосибирск

*Поступила 15/VI 1990 г.,
в окончательном варианте — 27/IX 1990 г.*

9—12 июня 1992 года
ИНСТИТУТ ТЕОРЕТИЧЕСКОЙ И ПРИКЛАДНОЙ МЕХАНИКИ
ОРДЕНА ЛЕНИНА СИБИРСКОГО ОТДЕЛЕНИЯ РАН
проводит II Всесоюзный семинар
**«РАБОЧИЕ ПРОЦЕССЫ В ДВС
С ОГРАНИЧЕННЫМ ОТВОДОМ ТЕПЛА»**

За справками обращаться:
630090, Новосибирск-90, ул. Институтская, 4/1, ИТПМ
т е л. 35-69-05, 35-42-68